

تأثیر خصوصیات فیزیکی و شیمیایی خاک در رخداد فرسایش خندقی و مرفولوژی خندق ها

جمال قدوسی و مسعود داوری

به ترتیب استادیار پژوهشی مرکز تحقیقات حفاظت خاک و آبخیزداری و دانشجوی دکتری خاکشناسی دانشگاه تربیت مدرس

وازگان کلیدی: فرسایش خندقی، خصوصیات فیزیکی و شیمیایی خاک، مرفوولوژی خندقها، فرسایش توتلی، حوزه آبخیز زنجانرود

مقدمه

فرسایش خاک به وسیله آب و پیامدهای ناشی از آن از دیرباز مورد توجه پژوهشگران حفاظت خاک بوده است. از میان انواع مختلف اشکال فرسایش آبی، فرسایش خندقی یکی از عوامل مهم و تهدید کننده تعادل منابع زیست محیطی و پایداری آن محسوب می شود. به طوری که این تهدید تنها محدود به ایجاد تغییرات ناهمنگار در منظر زمین، تخریب اراضی و از بین رفت خاک و عدم امکان فعالیتهای کشاورزی و بهره برداری اقتصادی از عرصه های طبیعی نمی شود، بلکه با رخداد و گسترش این نوع فرسایش، جاری شدن تند آبهای سیل، جابجایی حجم قابل توجهی از رسوبات و پیامدهای ناشی از آن و بالاخره غیر قابل استفاده شدن اراضی تشدید می شوند. این نوع فرسایش به ویژه در مناطق خشک و نیمه خشک جهان در مواردی که بهره برداری از منابع خاک و آب و گیاه (پوشش گیاهی) مبتنی بر اصول صحیح و متناسب با توانهای طبیعی و شرایط محیطی نباشد، موجب تغییرات قابل ملاحظه در منظر اراضی و پیامدهای زیان بار اقتصادی و اجتماعی می شود (DeLuna و همکاران، ۲۰۰۰ و Ezochi).

به رغم توجه فراوان کارشناسان فرسایش و حفاظت خاک به فرسایش خندقی در قرن بیست و مطالعه و بررسی در زمینه عوامل مؤثر در شکل گیری و گسترش این نوع فرسایش، در سالهای پیش از دهه ۱۹۳۰ میلادی که اقدام به طبقه بندی اشکال مختلف فرسایش آبی بوسیله متخصصین فرسایش خاک شده است، می توان ادعا نمود که بیشترین تعداد بررسی ها، مطالعات و تحقیقات علمی در باره فرسایش خندقی در چند دهه اخیر صورت پذیرفته است (Zachar، ۱۹۸۲). علت این موضوع مربوط به انجام پژوهش های علمی درباره اندواع فرسایش خاک به وسیله آب در مقیاسهای مزرعه ای و حوزه های آبخیز می شود که بطور عمده در گذشته محدود به پلاتهای تحقیقاتی بوده است (Baade، ۲۰۰۰). آنچه توسط اکثریت قریب به اتفاق پژوهشگران فرسایش خاک درباره فرسایش خندقی پذیرفته شده می باشد، پیچیده بودن چگونگی شکل گیری و روند رشد و گسترش خندق ها در شرایط مختلف محیطی و اقدامات متفاوت عامل انسان در بهره برداری از منابع خاک و آب و گیاه است. به طوری که این نوع فرسایش خاک را نمی توان در تمامی مناطق تنها محدود به نوع معینی از سازند های زمین شناسی، وضعیت توپوگرافی، خصوصیات خاک، استفاده از اراضی، شرایط اقلیمی، ویژگیهای آب و هوایی نمود (Bobrovistskaya، ۲۰۰۰).

چکیده

فرسایش خندقی یکی از انواع فرسایش آبی است که موجب تخریب اراضی و برهم خوردن تعادل در پهنه های منابع طبیعی و اراضی کشاورزی می شود. یکی از عوامل مؤثر در رخداد فرسایش خندقی و تشکیل انواع خندقها خصوصیات فیزیکی و شیمیایی خاک است. در این مقاله سعی گردیده است رابطه بین رخداد فرسایش خندقی و شکل گیری انواع خندقها با خصوصیات فیزیکی و شیمیایی خاک بر اساس نتایج حاصل از تحقیق انجام شده در حوزه آبخیز زنجانرود واقع در شمال غرب کشور ارائه شود. تحقیق انجام شده به منظور دستیابی به هدف فوق مبتنی بر اجرای پژوهش در دو مرحله شناسایی ویژگیهای منطقه تحقیق در چارچوب مطالعات و بررسیهای متداول طرحهای آبخیزداری و تهیه نقشه ها و جداول و ذخیره آمار و اطلاعات ذیربیط در محیط GIS از یکسو و مشخص نمودن مناطق تحت تأثیر فرسایش خندقی در واحدهای همگن و تقسیم بندی خندقها موجود در منطقه تحقیق بر اساس مرفوولوژی آنها با استفاده از داده های سنجش از دور همراه با عملیات میدانی و نقشه برداری پلان انواع خندقها همراه با تشریح پروفیل خاک و تجزیه آزمایشگاهی نمونه های خاک از سوی دیگر بوده است. به طوری که برای بررسی رابطه بین رخداد فرسایش خندقی و مرفوولوژی خندقها با خصوصیات فیزیکی و شیمیایی خاک مناطق خندقی شده در مقایسه با مناطق شاهد خندقی نشده آزمونهای Kruskal - Wallis تجزیه واریانس، LSD و گسترش خندق ها، از بین پارامترهای خاک مقادیر پارامترهای اسیدیته (PH) و هدایت الکتریکی (EC) درصد اشباع خاک (SP) در افقهای A و C با محل تشکیل خندقهای شاخه درختی، پنجه انگشتی و جبهه ای دارای اختلاف معنی دار در سطح ۱٪ بوده و سایر پارامترها نقشی در ایجاد خندقها با مرفوولوژیهای مختلف ندازند. افزون بر این تجزیه و تحلیل همبستگی بین درصد رس، سیلت و شن، درصد اشباع خاک، هدایت الکتریکی و درصد گچ موجود در خاک مثبت و رابطه بین آنها در سطح ۵٪ معنی دار می باشد. جمع بندی حاصل از انجام این تحقیق بیانگر این است که شکل گیری و ایجاد انواع شبکه خندقها تابعی از بافت خاک در افقهای مختلف، درصد اشباع خاک و هدایت الکتریکی بوده به طوری که با افزایش املاح محلول موجود در خاک رخداد فرسایش توتلی و ایجاد خندقها جبهه ای مرکب به شدت افزایش می یابد.

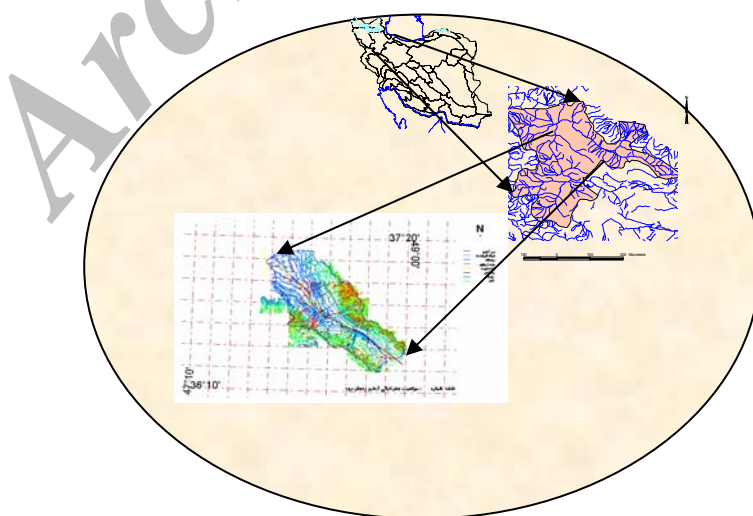
حوزه‌های آبخیز هر یک از خندق‌های ایجاد شده و نظایر آن نمود (Kwaad و Imeson ۱۹۸۰)، بنابراین بدليل پیچیده و متفاوت بودن نحوه و روند شکل‌گیری، رشد و گسترش فرسایش خندقی، لازم است در نقاط مختلف در باره این نوع فرسایش اقدام به بررسی‌های دامنه‌دار شود. تحقیق حاضر نیز در این راستا و به منظور دستیابی به رابطه بین رخداد فرسایش خندقی و مرغولوژی خندقها با خصوصیات فیزیکی و شیمیایی خاک انجام شده است.

مواد و روش‌ها

این تحقیق در حوزه آبخیز زنجان‌رود انجام شده است. به طوری که مطالعات مربوط به شناسایی ویژگی‌های آن در چارچوب روش متداول در مطالعات طرحهای آبخیزداری انجام شده است. بر این اساس منطقه تحقیق یکی از زیر آبخیزهای حوزه آبخیز سفید رود است که در شمال غرب ایران و در غرب استان زنجان واقع شده است. این حوزه آبخیز با مساحتی حدود ۴۷۷/۳۶ کیلومتر مربع در حد فاصل طول جغرافیایی ۴۷ درجه و ۴۷ دقیقه و ۴۱ ثانیه تا ۴۹ درجه و ۴ دقیقه و ۵۵ ثانیه طول شرقی و ۳۶ درجه و ۱۷ دقیقه و ۴۱ ثانیه تا ۳۷ درجه و ۱۳ دقیقه و ۳۶ ثانیه عرض شمالی قرار دارد (شکل ۱). که مشخصات توپوگرافی و فیزیوگرافی آن در جدول (۱) ارائه شده است. افزون بر این منطقه تحقیق از نظر زمین شناسی متشکل از سازندهای دوران پرکامبرین تا عهد حاضر و از نظر شکل رویه زمین مشتمل بر واحدهای کوه، تپه، دشت‌های دامنه‌ای و تراشهای جوان حاشیه رودخانه‌ای است: که ویژگی‌های مربوط به آنها همراه با مشخصات خاک، پوشش گیاهی و هواشناسی واقعیم در جداول (۲) تا (۵) آورده شده است.

به عقیده متخصصین فرسایش و حفاظت خاک فرسایش خندقی پدیده ناشی از عملکردهای درونی بین مجموعه عواملی است که مهمترین آنها حجم، سرعت و نوع رواناب‌های سطحی، خصوصیات خاک، تغییرات بوجود آمده در حفاظ روی خاک و نحوه استفاده از اراضی می‌باشد. اما Hudson (۱۹۸۵) و Morgan (۱۹۹۶) معتقدند که خندق‌ها بیشتر بر اثر ناپایداری اراضی و در اثر اقدامات و فعالیت‌های انسان به ویژه بهره‌برداری غیر اصولی از اراضی حاصل می‌شوند. به طوری که فرسایش خندقی در اکثر موارد به اقدامات اعمال انسان در بهره‌برداری از زمین بستگی داشته و عوامل محیطی در درجه دوم از اهمیت قرار دارند. Schumm و Patton (۱۹۸۱) با تحقیقات خود در باره شکل‌گیری فرسایش خندقی به این نتیجه رسیده‌اند که وقتی آستانه ژئومرفولوژی در یک منطقه از حد مجاز تجاوز نماید یا نیروی فرسایندگی رواناب‌های سطحی به حدی افزایش یابد که ذرات خاک را از توده خاک جدا نموده و حمل نماید، در این صورت اولین مرحله شکل‌گیری فرسایش خندقی آغاز می‌شود و در مراحل بعدی خندق‌ها گسترش پیدا می‌کنند. به اعتقاد Schumm (۱۹۷۹) در ایجاد و شکل‌گیری فرسایش خندقی عوامل بیرونی نظیر آب و هوا و اقدامات انسان همراه با عوامل طبیعی نظیر خصوصیات ژئومرفولوژی و خاک مشارکت می‌نمایند.

نظر به اینکه جنبه‌های مختلف فرسایش خندقی به رغم تحقیقات گسترده انجام شده در جهان هنوز بدرستی شناسائی و معرفی نشده است (Lane و Foster ۲۰۰۰؛ Belyaev ۱۹۸۳؛ Hadley ۱۹۸۸؛ Foster ۱۹۸۳؛ Harvey ۱۹۸۵) و نمی‌توان با اطمینان زیاد، شکل‌گیری، رشد و گسترش فرسایش خندقی را به طور مثال محدود به رابطه ساده بین شبیه و سطح حوزه آبخیز واقع در سر خندقها و خصوصیات فیزیوگرافی و یا ارتباط بین مرغولوژی جداره‌ها، سطح مقطع و شب خندقها با سایر خصوصیات فیزیکی



شکل (۱) موقعیت جغرافیائی حوزه آبخیز زنجان رود

جدول(۱) مشخصات توپوگرافی و فیزیو گرافی آبخیز زنجانرود

مساحت : ۴۷۲۷/۳۶ کیلومتر مربع،	•
محیط و طول آبخیز به ترتیب : ۲۸۲/۳ و ۱۲۹/۹۴ کیلومتر.	•
تراکم شبکه آبراهه ها (شبکه زهکشی طبیعی)؛ ۳/۱۲ کیلومتر بر کیلومتر مربع.	•
ارتفاع آبخیز از سطح دریا؛ حداقل ۱۱۱۰ متر در محل اتصال زنجانرود به رودخانه قزل اوزن و حداکثر ۲۱۹۷ متر در مرز شمالی آبخیز،	•
شیب متوسط آبخیز؛ ۳/۸۲ درصد شامل واحدهای ژئومرفولوژی دشت های سرپوشیده با شیب ۱-۵ درصد، پادگانه های آبرفتی با شیب ۵-۸ درصد، تپه ها با شیب ۸-۲۵ درصد و واحد کوهستان با شیب بیش از ۲۵ درصد،	•
جهت عمومی دامنه ها؛ شمالی و جنوبی،	•
میانه و میانگین وزنی ارتفاع آبخیز به ترتیب؛ ۱۷۷۵/۰۰ و ۱۷۸۷/۵۵ متر از سطح دریا.	•

جدول(۲) مشخصات شکل رویه زمین و تیپ اراضی

تیپ اراضی	شیب عمومی (درصد)	شیب مؤثر (درصد)	اخلاف سطح اراضی (متر)	سایر مشخصات	واحد های اراضی
(۱) کوهستان	> ۲۵	در جهت های مختلف و نامشخص	> ۱۰۰ و عموماً بین ۵۰۰ - ۱۵۰۰	نوع و مشخصات خاکها متفاوت، عمق خاک بین خیلی کم تا نسبتاً عمیق، تراکم پوشش گیاهی کم تا متوسط	۱.۳ و ۱.۲
(۲) تپه ها	۸ - ۲۵	در جهت های مختلف و نامشخص	۵۰ - ۵۰۰	نوع و مشخصات خاکها متفاوت، عمق خاک بین کم تا عمیق، در برخی نقاط خاک های عمیق تکامل یافته تراکم پوشش گیاهی کم تا متوسط	۳.۲.۲، ۲.۱ ۲.۴ و ۲
(۳) فلاتها	۵ عموماً محدب	حداکثر ۲۵	۵۰ - ۲۵	نوع و مشخصات خاکها متفاوت، عمق خاک زیاد همراه با تجمع آبک و در برخی نقاط همراه با لایه های سنگریزه و تجمع گچ، تراکم پوشش گیاهی کم تا متوسط	۴.۳ و ۴.۲، ۳.۱
(۴) دشت های دامنه ای	۱ - ۵ (به تدریت کمتر از ۱)	حداکثر ۸	< ۵	خاک نسبتاً عمیق و بدون سنگریزه یا با سنگریزه کم و تکامل یافته، تراکم پوشش گیاهی متوسط تا ریاد	۴.۲ و ۴.۱

جدول (۳) گروه های بزرگ خاک و مساحت تحت پوشش هر یک از آنها

گروه های بزرگ خاک	مساحت (هکتار)	درصد مساحت
Lithic Xerorthents	۱۴۷۶۴۱/۹۱	۳۱/۳۳
Typic Xerorthents	۱۴۳۸۹۸/۹۷	۳۰/۴۴
Typic Xerochrepts	۹۶۱۳۲/۶۷	۲۰/۳۳
Calcic Xerolic Xerochrepts	۶۰۵۰/۳۲	۱۲/۸۱
Lithic Xerorthents , Typic Xerorthents	۱۹۰۶۵/۶۸	۲/۴
Halaquepts	۵۴۹۰/۴۵	۱/۱۶

جدول (۴) میزان تراکم پوشش گیاهی هر یک از جوامع گیاهی

ردیف	جوامع گیاهی	حداکثر تراکم (درصد)	حداقل تراکم (درصد)	تراکم متوسط (درصد)
۱	<i>Astragalus</i> , <i>Artemisia</i>	۸۵	۱۰	۴۵
۲	<i>Crataegus</i> , <i>Astragalus</i>	۸۰	۳۵	۵۵
۳	<i>Hulthemia</i> , <i>Artemisia</i>	۸۵	۲۵	۵۰
۴	<i>Hulthemia</i> , <i>Salsola</i>	۷۵	۱۰	۱۵
۵	<i>Salsola</i> , <i>Hulthemia</i>	۲۵	۵	۱۰

جدول (۵) مشخصات هوا و اقلیم

الف- دمای هوای میانگین سالانه در ایستگاه زنجان ۳۰/۱۰ درجه سانتی گراد،	•
تغییرات درجه حرارت نسبت به ارتفاع معادل ۷/۲ درجه سانتی گراد به ازای هر یکصد متر ارتفاع از سطح دریا.	•
- نمای رطوبت هوای میانگین سالانه رطوبت نسبی معادل ۵۷ درصد.	•
ج- تبخیر و تعرق:	•
متوسط سالانه تبخیر از سطح آزاد آب معادل ۲۱۳۳/۳ میلی متر در ایستگاه زنجان و ۲۱۴۵/۲ میلی متر در ایستگاه حسین آباد.	•
تبخیر و تعرق پتانسیل سالانه بر اساس داده های ایستگاه های زنجان و حسین آباد با استفاده از روش تورنوایت ۵۳۳/۲۴ میلی متر.	•
د- بارندگی:	•
متوسط بارندگی سالانه ۲۹۹ میلی متر با تغییرات ۲۱۶ میلی متر در پایاب و ۵۱۳ میلی متر در سرآب حوزه آبخیز،	•
ضریب تغییرات بارندگی ۲۱/۴ درصد با تغییر پذیری نسبی ۰/۲۱.	•
پراکنش فصلی بارندگی شامل بیشتر مقدار بارندگی در فصل بهار و کمتر مقدار بارندگی در فصل تابستان با تغییرات ۳۵-۴۳ درصد در فصل بهار، ۲۶-۳۴ درصد در فصل زمستان،	•
درصد در فصل پاییز و ۳-۵ درصد در فصل تابستان،	•
اقلیم منطقه بر اساس روش ملارت اصلاح شده خشک تانیمه خشک سرد به ترتیب از پایاب به سمت سراب آبخیز	•

انجام بازدیدها و عملیات میدانی شامل نهایی کردن تقسیم بندی مناطق همگن بر اساس مرفوولوژی خندق ها و انتخاب ۳ خندق در هر یک از پهنه های آزمایشی همراه با نقشه برداری خندق ها برای تهیه پلان آنها مشتمل بر ۱۲ خندق در ۴ پهنه آزمایشی، ۴- تشریح پروفیل و تهیه نمونه های خاک بر اساس نتیجه حاصل از تشریح پروفیل خاک در سه نقطه در طول هر خندق شامل دهانه خروجی، بخش میانی و رأس خندق ها، ۵- بررسی رابطه بین ویژگی های فیزیکی و شیمیایی خاک با تراکم فرسایش خندقی و مرفوولوژی خندقها با استفاده از تجزیه و تحلیل فراوانی، و انجام آزمونهای Kruskal-Wallis، تجزیه واریانس، LSD و تجزیه و تحلیل همبستگی بین تراکم و مرفوولوژی خندق ها به عنوان متغیرهای وابسته و پارامترهای مربوط به خصوصیات فیزیک و شیمیایی خاک به عنوان متغیرهای مستقل از طریق ایجاد روابط رگرسیونی.

نتایج و بحث

۱- با توجه به بررسی رابطه بین خصوصیات فیزیکی و شیمیایی خاک با رخداد و تراکم فرسایش خندقی و مرفوولوژی خندقها؛ با استفاده از داده های به دست آمده از پهنه های آزمایشی، نتیجه حاصل از تجزیه و تحلیل های انجام شده درباره تغییرات وسعت اراضی خندقی شده نشانگر این است که اراضی تحت تاثیر فرسایش خندقی صرف نظر از انواع خندق ها طی سالهای ۱۳۳۵ تا ۱۳۷۷ دارای روند افزایشی در منطقه تحقیق بوده است (جدول ۶ و شکل ۴).

در انجام این تحقیق افزون بر استفاده از آمار و اطلاعات حاصل از بررسی ها و مطالعات پیشین انجام شده در منطقه تحقیق و بهره گیری از نتایج بند ؛ الف؛ از عکسهای هوایی سالهای ۱۳۳۵ و ۱۳۴۶ به ترتیب با مقیاس های ۱:۵۵۰۰۰ و ۱:۲۰۰۰۰ و تصاویر ماهواره ای لنdest - TM مربوط به سالهای ۱۳۷۰ و ۱۳۷۷، ابزار و ادوات نقشه برداری، تشریح پروفیل و نمونه برداری از خاک، استریوسکوپ های جیبی و آئینه دار، و بسته های نرم افزاری SPSS و ILWIS استفاده شده است.

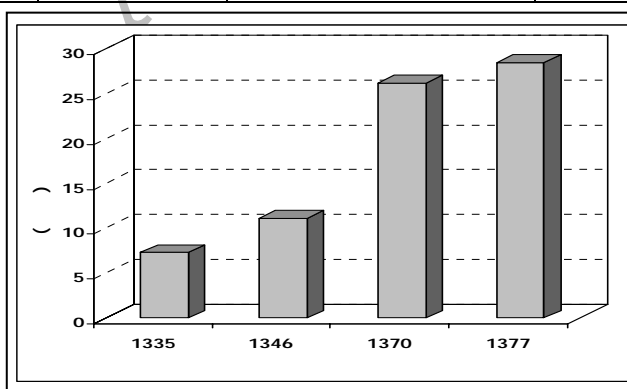
روشهای مورد استفاده در این تحقیق مبتنی بر بهره گیری از نقشه های پایه تهیه شده در قالب بند الف (شناسایی ویژگی های منطقه تحقیق) برای تعیین مناطق خندقی شده و طبقه بندی آنها با هدف مشخص کردن مناطق همگن از نظر طبقات ارتفاعی، واحد های سنگی، شبی، جهت، گروه های بزرگ خاک، تیپ های گیاهی، استفاده از اراضی و متوسط بارندگی سالانه در محیط GIS بوده است. به طوری که پس از تعیین مناطق همگن اقدامات زیر به مرحله اجرا در آمده است:

۱- شناسایی موقعیت و توزیع مکانی فرسایش خندقی با استفاده از تفسیر عکسهای هوایی سالهای ۱۳۳۵ و ۱۳۴۶ به ترتیب با مقیاس های ۱:۵۵۰۰۰ و ۱:۲۰۰۰۰ و تصاویر ماهواره ای لنdest - TM مربوط به مقطع زمانی ۱۳۷۰ و ۱۳۷۷ و مشخص کردن مناطق تحت تأثیر فرسایش خندقی از طریق آشکار سازی خندقها در هر یک از واحد های همگن همراه برای تهیه نقشه مربوطه در محیط GIS، ۲- تعیین تغییرات ایجاد شده در مساحت اراضی تحت تأثیر فرسایش خندقی طی سالهای ۱۳۳۵ تا ۱۳۷۷ همراه با طبقه بندی خندق ها از نظر مرفوولوژی،

۳- مشخص کردن مناطق تحت تأثیر انواع خندق ها و انتخاب پهنه های آزمایشی در هر یک از پهنه های همگن همراه با انجام برای

جدول(۶) تغییرات زمانی وسعت اراضی خندقی شده طی سالهای ۱۳۳۵-۱۳۷۷

سال	جمع مساحت تحت تأثیر فرسایش خندقی (هکتار)	مساحت تحت تأثیر (درصد)	مساحت تحت تأثیر تأثیر(هکتار)	میزان گسترش نسبت به سال قبل(درصد)	میزان گسترش نسبت به سال قبل (هکتار)	درصد تجمیع	میزان گسترش نسبت به سال قبل
۱۳۳۵	۳۴۴۱۶/۲	۴۳۸۳۱۹/۸	۷/۳	—	—	۲۵/۵	—
۱۳۴۶	۵۲۴۷۳/۷	۴۰۲۶۲/۳	۱۱/۱	۱۸۰۵۷/۵	۱۸۰۵۷/۵	۳۸/۹	۳/۸
۱۳۷۰	۱۲۲۸۲۷/۱	۳۴۸۹۰/۸/۹	۲۶/۲	۷۱۳۵۳/۴	۷۱۳۵۳/۴	۹۱/۸	۱۵/۱
۱۳۷۷	۱۳۴۹۱۱/۶	۳۳۷۸۲۴/۴	۲۸/۵	۱۱۰۸۴/۵	۱۱۰۸۴/۵	۱۰۰	۲۰/۳
جمع	۴۷۲۷۳۶	۴۷۲۷۳۶	۲۸/۵	۱۰۰۴۹۵/۵	۱۰۰۴۹۵/۵	—	۲۱/۲



()	()	()	()	()
0	0	7.3	34416	1335
18057.1	18057.1	11.1	52474	1346
89410.5	71353.4	26.2	123827	1370
100495	11084.5	28.5	134912	1377

شکل(۴) تغییرات مساحت اراضی خندقی شده طی سالهای ۱۳۳۵-۱۳۷۷

دارای شیب بین صفر تا حدکثر ۲۰ درصد می‌باشد، ایجاد شده و تعییرات مربوط به گسترش انواع خندقها در آنها یکسان نمی‌باشد. به طوری که خندق‌های جبهه‌ای و محوری به ترتیب دارای بیشترین و کمترین میزان رشد و گسترش طی سالهای مورد مطالعه در منطقه تحقیق بوده‌اند (جدول ۷ و شکل ۱۰).

۲- نتایج حاصل از بررسی مرفو‌لوزی خندقها نشانگر این است که در منطقه تحقیق جماعت چهار گروه از خندقها شامل خندق‌های محوری شاخه درختی، پنجه انگشتی، جبهه‌ای ساده و جبهه‌ای مرکب وجود دارد (شکل‌های ۵ الی ۹). افزون بر این مشخص شده است که خندقها به طورکلی در واحدهای ژئومرفولوزی دشتهای دامنه‌ای، دشت‌های میان‌تپه‌ای و میان-کوهی که



شکل (۵) تصویری از خندق‌های نایپوسته جبهه‌ای مرکب در منطقه تحقیق

شکل (۷) پلان شاهد خندق‌های محوری شاخه درختی



شکل (۶) پلان شاهد خندق‌های محوری شاخه درختی و پنجه‌انگشتی



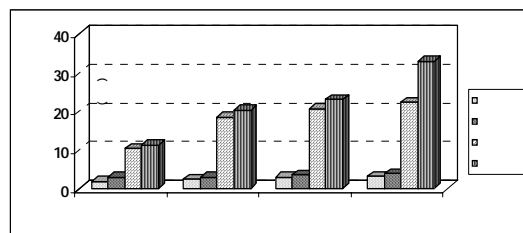
شکل (۹) پلان شاهد خندق‌های جبهه‌ای مرکب



شکل (۸) پلان شاهد خندق‌های جبهه‌ای شکل

جدول (۷) تغییرات تراکم خندق‌ها طی سالهای ۱۳۷۷-۱۳۳۵

نسبت تراکم خندق‌ها در دوره‌های مختلف (ترتیب رشد)			۱۳۷۷	۱۳۷۰	۱۳۴۶	۱۳۳۵	سال
۱۳۳۵-۱۳۷۷	۱۳۳۵-۱۳۷۰	۱۳۴۵-۱۳۴۶					
۱/۷۹	۱/۶۶	۱/۳۹	۳/۱۸	۲/۹۶	۲/۴۹	۱/۷۸	محوری
۱/۸۱	۱/۶۹	۱/۴۰	۳/۷۸	۲/۵۳	۲/۹۳	۲/۰۹	پنجه‌انگشتی
۲/۱۴	۱/۹۸	۱/۷۸	۲۲/۳۶	۲۰/۶۹	۲۰/۶۹	۱۰/۴۵	جهه‌ای
۲/۹۲	۲/۰۳	۱/۸۰	۳۳/۱۲	۲۲/۰۴	۲۰/۴۲	۱۱/۳۵	جهه‌ای مرکب



شکل (۱۰) تغییرات تراکم انواع مختلف خندق‌ها طی سالهای ۱۳۷۷-۱۳۳۵

خندق‌ها در سطح ۱٪ معنی‌دار می‌باشد. به عبارت دیگر به استثنای دو پارامتر یاد شده، سایر پارامترهای فیزیکی، شیمیایی در افق A محل تشکیل انواع خندق‌ها با مرفو‌لوزی های مختلف مشابه می‌باشند. این درحالی است که نتیجه بدست آمده از تجزیه واریانس

۳- بررسی خصوصیات فیزیکی و شیمیایی افق‌های مختلف خاک در Kruskal-Wallis نشان‌دهنده‌ی این است که تنها اختلاف بین اسیدیته (pH) و هدایت الکتریکی (EC) در افق‌های A برای تمامی گروه‌های

انگشتی به مفهوم تاثیر خصوصیات فیزیکی و شیمیایی افق B در شکل گیری خندق ها با مرفولوژی مختلف است. نتیجه حاصل از آزمون LSD نیز تایید کننده نتایج آزمون های انجام شده به شرح فوق است. در افق C نیز نتیجه آزمون های مشابه انجام شده نشانگر این است که اختلاف بین درصد مقادیر شن، سیلت و رس، درصد اشباع، نگهداری آب در خاک در فشار ۱۵ بار اتمسفر و هدایت الکتریکی افق C در محل تشکیل گروه های مختلف خندق ها بر اساس آزمون Kruskal-Wallis در سطح ۱٪ معنی دار است. نتیجه حاصل از تجزیه واریانس نیز نشان دهنده معنی دار بودن اختلاف بین درصد شن، سیلت و رس، درصد اشباع، نگهداری آب در خاک در فشار ۳ و ۱۵ بار اتمسفر و هدایت الکتریکی افق های C در محل تشکیل انواع مختلف خندق ها می باشد. وجود اختلاف معنی دار بین میانگین مقادیر پارامترهای (الف) درصد مقادیر شن و سیلت خاک محل ایجاد خندق های محوری با خندق های پنجه ای با خندق جبهه ای، (ب) درصد رس خاک محل تشکیل خندق های جبهه ای با خندق های محوری و پنجه ای، (ج) درصد اشباع خاک در محل ایجاد انواع خندق، (د) درصد آب موجود در خاک محل تشکیل خندق های محوری با خندق های پنجه ای و جبهه ای در فشارهای ۰/۱ تا ۱۵ بار اتمسفر، (ه) هدایت الکتریکی خاک در محل ایجاد خندق های جبهه ای با خندق های محوری و پنجه ای و (و) درصد آهک کل خاک در محل ایجاد خندق های پنجه ای و خندق های جبهه ای نیز میان متفاوت بودن خصوصیات فیزیکی و شیمیایی افق های C در محل تشکیل انواع خندق ها است.

به این ترتیب می توان نتیجه گرفت که شکل گیری انواع مختلف خندق ها از نظر مرفوولوژی افزون بر تبییت از پارامترهای درصد اشباع، اسیدیته (pH)، درصد آب خاک و هدایت الکتریکی در افق A تابعی از پارامترهای مربوط به خصوصیات فیزیکی و شیمیایی خاک در افق های B و C می باشد. به نحوی که تعداد پارامترهای خصوصیات فیزیکی خاک در عمق دار شدن اختلاف بین آنها از سطح به عمق خاک افزایش می یابد. مهمترین پارامترها به ترتیب عبارتند از: هدایت الکتریکی، درصد اشباع خاک، درصد شن، سیلت و رس و درصد آب خاک در فشارهای ۰/۱ و ۰/۳ بار اتمسفر (جدول ۸).

نشانگر معنی دار بودن اختلاف بین درصد اشباع (SP%) و اسیدیته (pH) خاک در سطح ۱٪ و معنی دار بودن اختلاف بین هدایت الکتریکی (EC) و ظرفیت نگهداری آب در خاک در فشار ۰/۱ بار اتمسفر (SWC = Bar / ۰/۱) در سطح ۵٪ در افق های A در محل تشکیل انواع خندق ها می باشد. با توجه به نتایج حاصل از آزمون LSD نیز مشخص کننده این است که اختلاف بین میانگین های: (الف) درصد اشباع (SP%) خاک های محل ایجاد خندق های جبهه ای با خندق های محوری و پنجه ای و (ب) اسیدیته (pH) خاک محل تشکیل خندق های پنجه ای با خندق های محوری و ۰/۳ بار اتمسفر (Bar / ۰/۳، SWC = Bar / ۰/۱) خاک محل ایجاد خندق های جبهه ای، (ج) ظرفیت نگهداری آب در خاک در فشارهای ۰/۱ و ۰/۳ های محوری با خندق های پنجه ای و جبهه ای، (د) هدایت الکتریکی (EC) خاک خندق های پنجه ای و خندق های میانگین های محوری با افق های A در سطح ۵٪ معنی دار است (جدول ۸). ازین رو می توان نتیجه گرفت که تراکم و مرفوولوژی خندق ها تابعی از پارامترهای یاد شده در افق A است. از طرف دیگر نتیجه آزمون های مشابه انجام شده درمورد ویژگیهای فیزیکی و شیمیایی افق های B در محل تشکیل انواع خندق ها میان این است که بین درصد شن، سیلت و رس، نگهداری آب در خاک در فشارهای ۰/۱ تا ۱۵ بار اتمسفر و هدایت الکتریکی خاک محل تشکیل خندق های اختلاف معنی دار در سطح ۱٪ وجود دارد. این در حالی است که نتیجه حاصل از تجزیه واریانس نیز حاکی از معنی دار بودن اختلاف بین پارامترهای درصد شن، سیلت، رس، درصد اشباع، نگهداری آب در خاک در فشارهای ۰/۱ تا ۱۵ بار اتمسفر، هدایت الکتریکی در سطح ۱٪ و درصد گچ در سطح ۵٪ در افق B خاک محل تشکیل خندق ها است (جدول ۸). شایان ذکر است که معنی دار بودن اختلاف بین میانگین مقادیر پارامترهای فیزیکی شامل درصد شن، سیلت و درصد اشباع خاک در محل تشکیل گروه های مختلف خندق ها از یک سو و درصد رس و نگهداری آب در خاک در فشارهای ۰/۱ تا ۱۵ بار اتمسفر در محل تشکیل خندق های محوری با خندق های پنجه ای و جبهه ای و هدایت الکتریکی و درصد گچ در محل تشکیل خندق های جبهه ای با خندق های محوری و پنجه

جدول (۸) خلاصه نتیجه آزمون آماری خصوصیات فیزیکی خاک مؤثر در تنوع بافت خندق ها

افق خاک	نوع آزمون	درصد شن	درصد سیلت	درصد رس	درصد اشباع (SP%)	اسیدیته (PH)	درصد آب خاک				هدایت الکتریکی (میلی زیمنس بر سانتی متر)	درصد گچ	درصد آهک
							0.1bar	0.3bar	3 bar	15bar			
A	– Wallis Kruskal	–	–	–	*	*	–	–	–	–	*	*	–
	ANOVA	–	–	–	*	*	*	*	–	–	–	–	*
	LSD	–	–	–	*	*	*	*	–	–	–	–	*
	– Wallis Kruskal	–	–	–	*	*	*	*	–	–	*	*	*
B	ANOVA	*	*	*	*	*	*	*	*	*	*	*	*
	LSD	*	*	*	*	*	*	*	*	*	*	*	*
C	– Wallis Kruskal	–	–	–	*	*	*	*	*	*	*	*	*

گیری و ایجاد خندق های جبهه ای به حساب می آید. افزون بر این افزایش درصد رس از سطح به عمق خاک در افق های B و C باعث اشباع خاک

۴ - شایان ذکر است که افزایش مقدار هدایت الکتریکی خاک نشانگر افزایش مواد قابل اتحال موجود در آن بوده که عامل اساسی در شکل

عنوان متغیرهای مستقل) از طریق ایجاد رابطه رگرسیونی(جدول ۹)، نشانگر موارد زیر است:

- ۱-۵ - رابطه بین درصد شن با تراکم خندق ها معکوس بوده و ضریب همبستگی بین آنها در سطح ۵ درصد معنی دار است. به عبارت دیگر، با افزایش میزان شن، تراکم خندق ها و در نتیجه احتمال خطر فرسایش خندقی کاهش می یابد.
- ۲-۵ - رابطه بین درصد سیلت و رس، درصد اشباع خاک، درصد آب خاک در فشارهای ۰/۰ و ۱۵ بار اتمسفر، هدایت الکتریکی و درصد گچ موجود در خاک مستقیم بوده و ضریب همبستگی بین آنها در سطح ۵٪ معنی دار است. به طوری که با افزایش میزان هر یک از آنها، تراکم خندق ها نیز افزایش می یابد. در شکل (۱۱) رابطه بین تراکم خندق ها با میزان شن موجود در خاک به طور نمونه ارائه شده است.

سطحی و جریان یافتن رواناب های زیر قشری می گردد. در چنین شرایطی به طور معمول خندق های جبهه ای و جبهه ای مرکب در اثر رخداد فرسایش تونلی (انحلالی) ایجاد می شوند (احمدی، ۱۳۷۴؛ رفاهی، ۱۳۷۵؛ Bell، ۱۹۶۸؛ Brink و همکار، ۱۹۸۳؛ Bryan و همکار، ۱۹۸۲؛ Leopold و همکاران، ۱۹۸۵؛ Kirkby و همکاران، ۱۹۶۷؛ Morgan و همکاران، ۱۹۶۴) . این موضوع در تشکیل خندق های جبهه ای و جبهه ای مرکب با توجه به معنی دار بودن اختلاف بین مقادیر هدایت الکتریکی در خاک محل تشکیل این نوع خندق ها با خندق های محوری شاخه درختی و پنجه انگشتی در حوزه آبخیز زنجانرود نیز نیز صادق است.

۵ - با توجه به مطالب فوق و مشخص شدن پارامترهای مربوط به خصوصیات خاک در شکل گیری انواع خندق ها ، نتیجه بررسی حاصل از رابطه بین تراکم انواع خندق ها (به عنوان متغیر وابسته) با پارامترهای مربوط به خصوصیات فیزیکی و شیمیایی خاک (به

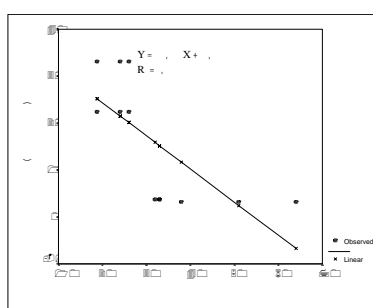
جدول (۹) نتایج ایجاد روابط رگرسیونی بین تراکم خندق ها با پارامترهای خصوصیات فیزیکی خاک

روابط رگرسیون	r	P	α	متغیر مستقل
$Y = 0.7068X + 38.5 \cdot 11$	0.65	0.95	0.23	درصد شن
$Y = 0.9984X - 16.522$	0.65	0.95	0.023	درصد سیلت
$Y = 1.39.4X - 33.677$	0.64	0.95	0.023	درصد رس
$Y = 1.4264X - 51.091$	0.86	0.95	0.002	درصد اشباع خاک
$Y = 0.9970X - 31.291$	0.69	0.95	0.012	درصد میزان آب خاک در فشار ۰/۰ بار اتمسفر
$Y = 1.2216X - 30.128$	0.66	0.95	0.019	درصد میزان آب خاک در فشار ۰/۳ بار اتمسفر
$Y = 2.0612X - 34.015$	0.76	0.95	0.004	درصد میزان آب خاک در فشار ۱۵ بار اتمسفر
$Y = 1.7842X + 4.6524$	0.84	0.95	0.001	هدایت الکتریکی خاک (میلی زیمنس بر سانتیمتر)
$Y = 32.7656X + 7.0901$	0.75	0.95	0.005	درصد گچ

خندقی شدن اراضی با خاکهای سیلتی و رسی به مراتب بیشتر از خطر رخداد فرسایش خندقی در خاکهای سبک است . علاوه بر این باید توجه داشت که افزایش هدایت الکتریکی خاک به طور معمول ناشی از افزایش املاح محلول در خاک حاصل می شود، از این رو در چنین شرایطی رخداد فرسایش تونلی موجب افزایش خطر خندقی شدن اراضی می گردد. که این موضوع در سازگاری با یافته های پژوهشی احمدی (۱۳۷۴)، Baillie و Hadley همکاران (۱۹۸۶)، Carson (۱۹۶۹) و Kirkby (۱۹۶۹) و USDA (۱۹۷۷) است.

نتیجه گیری و جمع بندی

با توجه به نتایج حاصل از تحقیق حاضر می توان نتیجه گرفت که شکل گیری و ایجاد انواع شبکه خندق ها، تابعی از خصوصیت بافت خاک. به طوری که در خاکهای ریزدانه و سنگین به دلیل زیاد بودن درصد سیلت و رس، درصد اشباع و درصد نگهدارش آب در خاک تراکم خندق ها زیاد بوده که نشانگر زیاد بودن احتمال شکل گیری فرسایش خندقی در این نوع خاکها است (احمدی، ۱۳۷۴ و Hadley و همکاران، ۱۹۸۵). از اینرو، خطر



شکل (۱۱) رابطه بین تراکم خندق با درصد شن موجود در خاک

منابع

- D.B. Simons Symposium on Erosion and sediment, Colorado State University, Fort Collins, pp.9.65-9.82.
- 14- Foster, G.R., 1988. Modelling Soil erosion and sediment Yield. In Lal, R. (ed.): Soil Erosion Research Methods: 97-117. SWCS. Ankeny. 244pp.
 - 15- Hadley, R.F., R. Lal, C.A. Onstad, D.E. Walling and A. Yair, 1985. Recent Developments in Erosion and Sedement Yield Studies, Technical Documents in Hydrology. UNESCO. Paris.
 - 16- Harvey, M.D., C.C. Watson and S.A. Schumm, 1985. Gully Erosion. Tech. Note. 366. USDA Bureau of Land Management. Denver. 181pp.
 - 17- Hudson, N.W., 1985. Soil Conserveation. Batsford. London.
 - 18- Imeson, A.C. and F.J. Kwaad., 1980. Gulley types and gully Prediction . KNAG Geografish Tijdschrift. 15(5): 430-441.
 - 19- Kirkby, M.J.,1969. Erosion by water on hillslopes. In Chorley, R.J.(ed.) : Water, Earth and Man. Methuen. London.
 - 20- Kirkby, M.J. and R.J. Chorley, 1967. Throughflow, overland flow and erosion. Bull. Int. Assoc. Sci. Hydr. XII :5-21.
 - 21- Leopold, L.B., M.G. Wolman and J.P. Miller. 1964. Fluvial processes in geomorphology. Freeman, San Francisco. 522pp.
 - 22- Morgan, R.P.C., 1996. Soil Erosion and Conservation. Second Edition. Silsoe College, Cranfield University. 198pp.
 - 23- Patton, P.C. and S.A. Schumm, 1981. Ephemeral stream processes : implication for studies of Quaternary Valley fills. Quaternnary Research 15 : 24-43.
 - 24- Schumm, S.A., 1979. Geomorphic threshold: the concept and its applications. Transactions of the Institute of British Geographers new Series, 4 : 485-515.
 - 25- USDA, Soil Conservation Service Engineering Division. 1977. Procedure for Determining Rate of Land Damage, Land Depreciation and Volume of Sediment Produced by Gully Erosion. FAO. Rome. 1977.1:125.
 - 26- Zachar, D., 1982. Soil Erosion. Amsterdam, Elsevier.
- ۱ احمدی، ح، ۱۳۷۴. ژئومرفولوژی کاربردی، جلد ۱، چاپ دوم، انتشارات دانشگاه تهران، ۶۱۴ ص.
- ۲ رفاهی، ح، ۱۳۷۵. فرسایش آبی و کنترل آن. چاپ اول، انتشارات دانشگاه تهران. ۵۵۱ ص.
- 3- Baade, J., 2000. Ephemeral gully erosion concepts and consequences, Elsevier, Catena Verlag. Cremlingen.
 - 4- Baillie, I.C., P.H. Faulkner, G.D. Espin, M.J. Levett and Nicholsen, 1986. Problems of protection against piping and surface erosion in centra Tunisia. Environm Conserv, 13(1): 27-40.
 - 5- Bell, G.L., 1968. Piping in the badlands of North Dakota. Proc. 6th Annual Eng. Geol. And Soil Eng. Symp. Boise Idaho (Boise, Idaho Dept. Highways) : 242-257.
 - 6- Belyaev, V.R., 2000. Specific features of gully formation under different natural conditions. Geographic Faculty, Moscow State University. Moscow.
 - 7- Bobrovistskaya, N.N., 2000. Hydrological, meteorological and morphological aspects of studying gully erosion in period of global change, Elsevier, Catena Verlag. Cremlingen.
 - 8- Brink, J.W. and P.D. Jungerius, 1983. The deposition of Stony Colluvium on clay soil as a cause of gully formation in the Rif mountains, Morocco, Earth Surf. Proc. and Land f.8 :281-285.
 - 9- Bryan, R. and A. Yair(eds.), 1982. Badland geomorphology and piping, Geobooks, Norwich.
 - 10- Carson, M.A., 1969. Soil moisture. In Chorley,R.J. (ed.): Water, Earth and Man : 185-195. Methuen, London.
 - 11- De Luna, E., K. Vanderlinden, J.M. De Haro, A. Laguna, J. Poesen and J.V. Giraldez, 2000. Monitoring of long-term gully head advance in South - east Spain using GIS. Elsevier, Catena Verlag. Cremlingen.
 - 12- Ezochi, J.I., 2000. The influnce of runoff, lithology and water table on the dimensions and rate of gullying Processes in Eastern, Nigeria. Elsevier, Catena Verlag. Cremlingen (Web-Site).
 - 13- Foster, G.R. and L.J. Lane, 1983. Erosion by concentrated flow in farm fields. In